

چکیده

شهرستان‌های قم و ساوه از دیدگاه زمین‌شناسی در محل پیوند دو ایالت لرزوه زمین‌ساختی ایران مرکزی و البرز قرار دارد. از گسله‌های فعالی که در این منطقه معرفی شده‌اند می‌توان به گسله کوشک نصرت اشاره کرد. در راستای این گسله تاکنون زمین‌لرزه دستگاهی و یا تاریخی گزارش نشده است. این گسله از دو روند نزدیک به خاوری-باخته و شمال باخته شکل گرفته است و بیشترین بخش آن از میان توده‌های سنگی با سن‌های موزوژیک و ائوسن می‌گذرد. بخش کوچکی از این گسله آبرفت‌های جوان (پلاستوسن بالایی) را متأثر می‌کند. برای مشخص شدن فعالیت زمین‌ساختی این گسله برای محاسبات خطر، افزون بر پیمایش‌های میدانی روش‌های دیگری به کار گرفته شده‌اند. بر اساس مطالعات وضعیت تنش به روش زمین‌ساختی و لرزه‌ای شاهدی بر فعالیت بخش خاوری-باخته گسله به دست نمی‌آید. برداشت‌های میدانی و مطالعه زهکش‌ها به طور مشخص نشان‌دهنده راستالغز بودن این گسله با مؤلفه راست بر است که با جهت تنش به دست آمده همخوانی ندارد. روش‌های دیگری چون شاخص‌های مورفومتریک (شاخص هیپوسوتری و شب رودخانه) نیز یافته بالا را تأیید می‌کنند. پرسش بعدی که در ارتباط به بخش خاوری-باخته گسله کوشک نصرت مطرح می‌شود ارتباط احتمالی آن با پایانه شمال یافته‌های مورفو-تکتونیکی و عکس‌های ماهواره‌ای به نظر می‌رسد که پیوندی میان این دو گسله وجود داشته باشد؛ هرچند که پیگیری این گسله به صورت یک خط واحد بر روی عکس‌های ماهواره‌ای مشخص نیست اما می‌تواند گسله از خطوط ناپیوسته همراه با تداخل دوروند گسلی خاوری-باخته و شمال باخته از گسله کوشک نصرت (بخش خاوری-باخته آن) تا گسله سیاه کوه تشکیل شده باشد.

واژگان کلیدی: ایران مرکزی، گسله کوشک نصرت، روش برگشتی،
تنسور تنش، شاخص‌های مورفومتریک.

شواهد زمین‌شناسی و

زمین‌ریخت‌شناسی مبنی بر فعالیت گسله‌های بخش شمالی ساوه (ایران مرکزی)

محمد رضا عباسی (نویسنده مسئول)

دانشیار پژوهشکده زلزله‌شناسی، پژوهشگاه زلزله‌شناسی و مهندسی زلزله، تهران، abbassi@iies.ac.ir

لیلا مهشادنیا

کارشناس ارشد پژوهشکده زلزله‌شناسی، پژوهشگاه زلزله‌شناسی و مهندسی زلزله، تهران

برخورد قاره‌ای اولیگوسن-میوسن آغازین و همچنین دگریختنی میوسن-هولوسن در فلات ایران در محدوده بین کوه‌های البرز و زاگرس است. در این میان رسوب‌گذاری لایه‌های الیگوسن-میوسن در حوضه مرکزی فلات ایران هم می‌تواند دارای اهمیت باشد. پژوهش‌هایی که تاکنون انجام شده‌اند بسیار عمومی بوده‌اند [۶-۱۷]. آنچه کمتر تاکنون مورد توجه قرار گرفته است بررسی زمین‌ساخت این ناحیه است. از تنها پژوهشی که به صورت فشرده به

دگریختنی پوسته ایران یکی از بهترین مثال‌های برخورد قاره-قاره است. برخورد صفحات عربی و اوراسیا در طی ائوسن-الیگوسن آغازین شروع شده است [۱-۵] و از نتایج مشخص این برخورد، دگریختنی اصلی کوه‌های البرز و زاگرس در طی میوسن میانی-هولوسن است [۶]. دگریختنی‌های اولیه در کمربند نازک سنتدج-سیرجان محدود بوده است. شناخت دقیق این مرحله کوهرایی مستلزم شناسایی مراحل اولیه

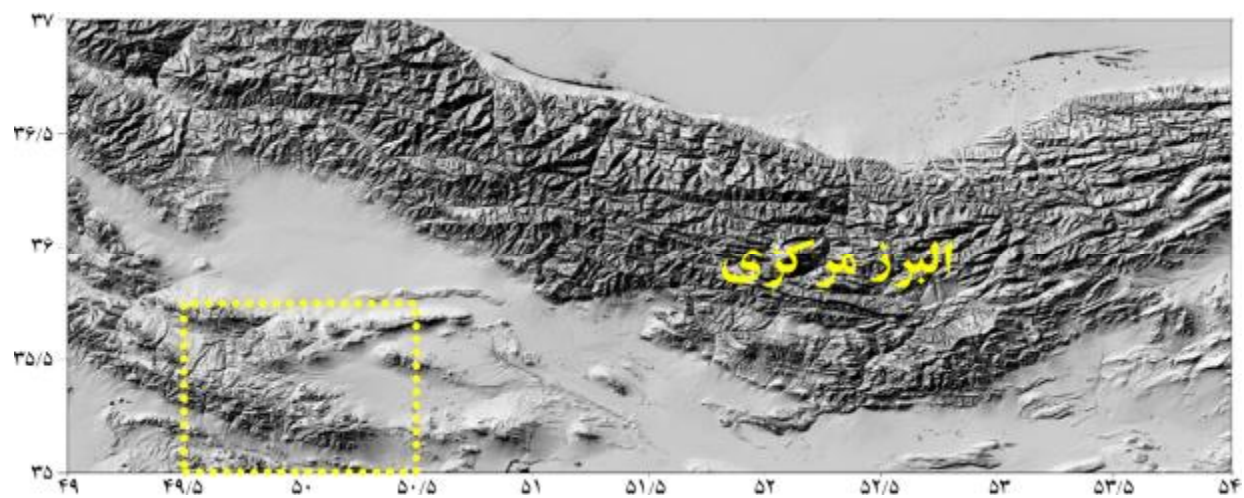
تهران می‌شود. گسله سیاه کوه با نزدیک شدن به گسله کوشک نصرت قطع می‌شود و پیگیری آن به سوی باخته آسان نیست. در این بخش که با لرزه‌خیزی بالایی همراه است به نظر می‌رسد که با گسله کوشک نصرت در ارتباط باشد. بخش دیگر این پژوهش به فعالیت زمین‌ساختی و ادامه این گسله می‌پردازد.

۲- زمین‌شناسی، زمین‌ساخت و لرزه‌خیزی

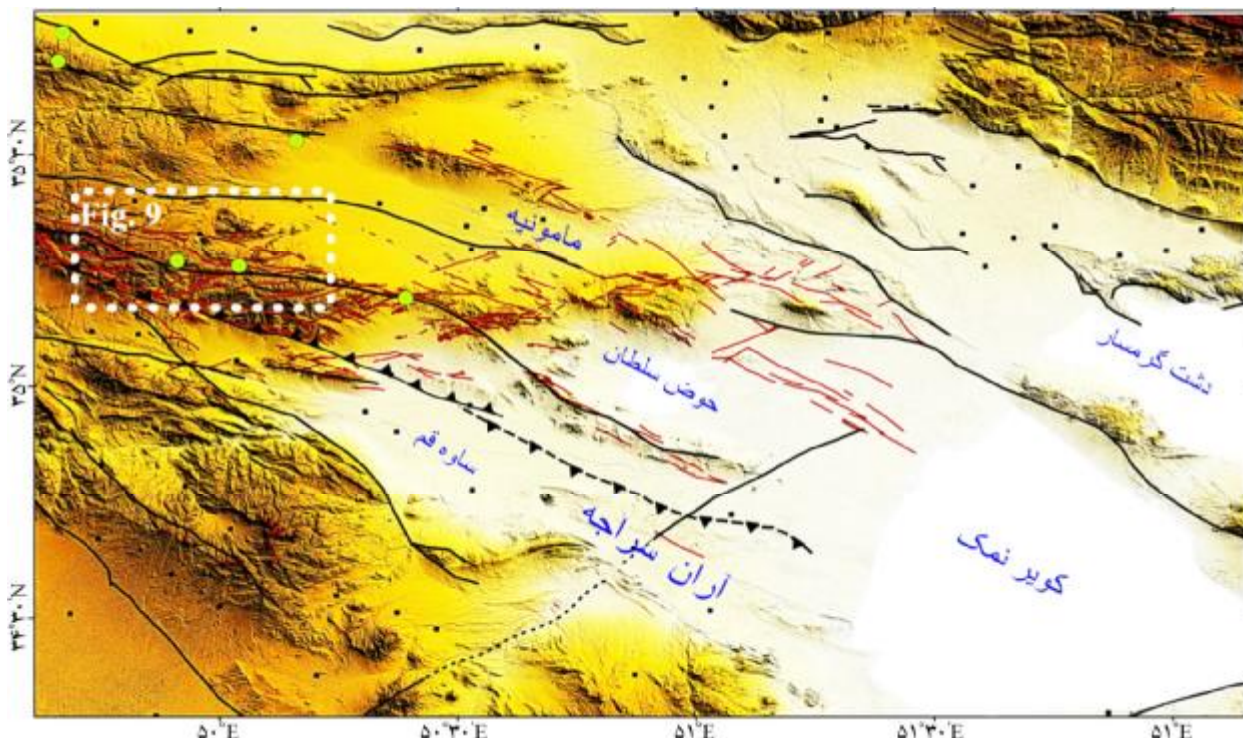
بخش اصلی حوضه مرکزی فلات ایران در شمال پهنه ارومیه- دختر واقع شده است و با توپوگرافی مسطح با تپه‌های پراکنده مشخص می‌شود (شکل ۱). حوضه در گذشته به طور قابل توجهی مسطح تر بوده به طوری که در رخمنون‌های الیگوسن- میوسن در جنوب پهنه ارومیه- دختر و نیز داخل پهنه ارومیه- دختر و دامنه‌های جنوبی کوههای البرز قابل تشخیص است [۱۹]. پهنه ارومیه- دختر از نظر ساختاری منطقه پیچیده‌ای است و در لبه صفحه اوراسیا واقع شده است [۱]. حوضه مرکزی فلات ایران از شمال به وسیله کوههای البرز و از خاور با میکروپلیت ایران مرکزی محدود شده است [۷]. در راستای حاشیه این صفحه، سامانه‌های گسلی راستالغر دارای گسترش بالایی هستند [۲۰]. برخی از این گسل‌ها در عهد حاضر هم فعالند و سازوکار گسلی زمین‌لرزه‌ها، حرکت راستالغر را بر روی گسل‌های شمال باخته- جنوب خاوری، نشان می‌دهد و در مقابل، بر روی گسل‌های شمال خاوری- جنوب باخته، سازوکار مؤلفه جابه‌جایی چپ بر را تأیید می‌کند [۸] (شکل‌های ۲ و ۳).

زمین‌ساخت این منطقه پرداخته است می‌توان از کارنوگل سادات [۱۸] در سال ۱۳۵۲ یاد کرد. این کار با توجه به زمان انجام آن کمی به موضوع زمین‌ساخت فعل پرداخته است.

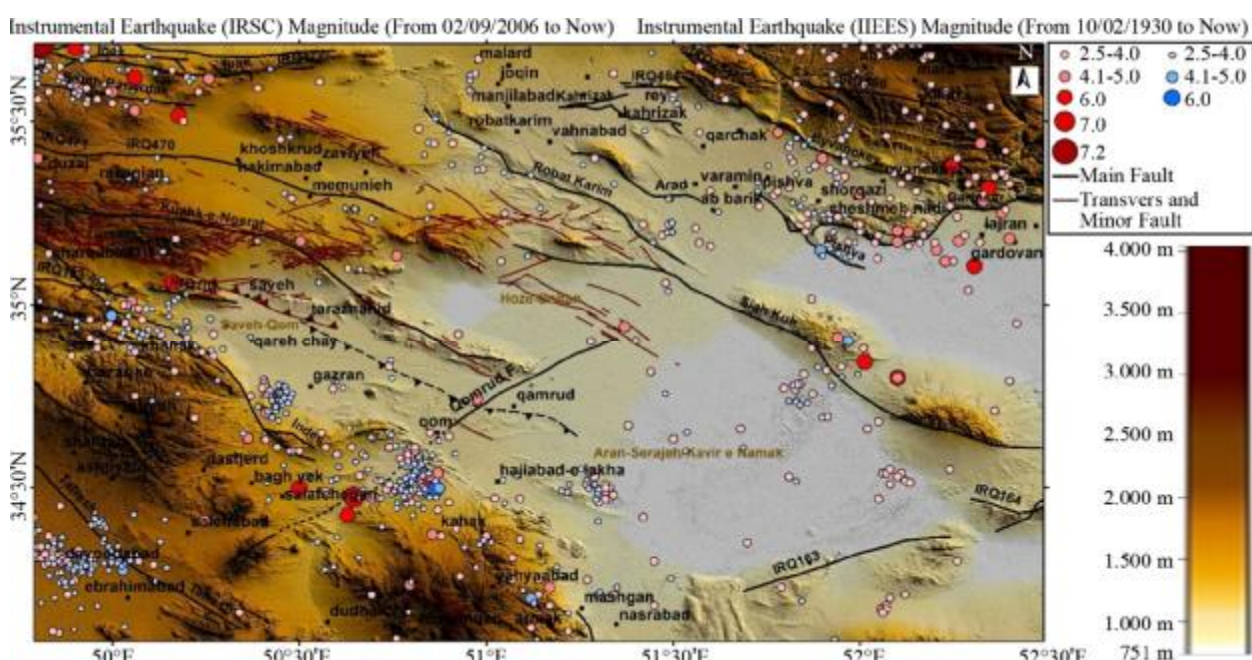
منطقه مورد مطالعه این پژوهش بخش شمالی ایران مرکزی و گذار آن به البرز است. شهر ساوه و جنوب باخته تهران شامل این پژوهش می‌شوند. مهم‌ترین گسله‌ای که در بخش شمالی شهر ساوه قرار می‌گیرد شامل گسله‌ای به نام کوشک نصرت است که به عنوان گسله فعل معرفی شده است. تاکنون کار مجازی برای اثبات فعالیت گسله کوشک نصرت صورت نگرفته است و افزون بر این در بخش‌های شمالی این گسله که با لرزه‌خیزی همراه است لازم است گسله‌های مسبب فعالیت‌های لرزه‌ای شناسانده شوند. با توجه به لرزه‌خیزی شهر ساوه لازم است نقش گسله کوشک به عنوان یک گسله فعل و یا غیر فعل بررسی شود و چنانچه این گسله مسبب زمین‌لرزه‌های رویداده نیست بایستی به این پرسش پاسخ داد که کدام گسله و یا گسله‌هایی برای برآورد خطر زمین‌لرزه شهر ساوه می‌تواند به حساب بیایند. این گسله به سه بخش شمال باخته (با روند شمال باخته)، مرکزی (با روند نزدیک به خاوری- باخته) و جنوب خاوری (با روند شمال باخته) تقسیم می‌شود. در این پژوهش بخش مرکزی این گسله بررسی قرار گرفته است. در بخش‌های شمال خاوری این گسله فعالیت لرزه‌ای قابل توجهی دیده می‌شود که شامل بخش جنوب باخته شهر



شکل (۱): نقشه فراز نمای البرز مرکزی و محدوده مطالعه که با خط‌چین زرد رنگ مشخص شده است.



شکل (۲): مدل ارتقای حوضه‌های فروافتاده با نام به شکل مورب بر روی نقشه مشخص شده‌اند. گسلهای فعال بر اساس کار حسامی و همکاران [۲۳، ۲۰] است.



شکل (۳): مدل رقومی ارتقای بر اساس داده‌های SRTM و توزیع لرزه‌خیزی (گسلهای فعال بر گرفته از حسامی و همکاران [۲۳، ۲۰] است).

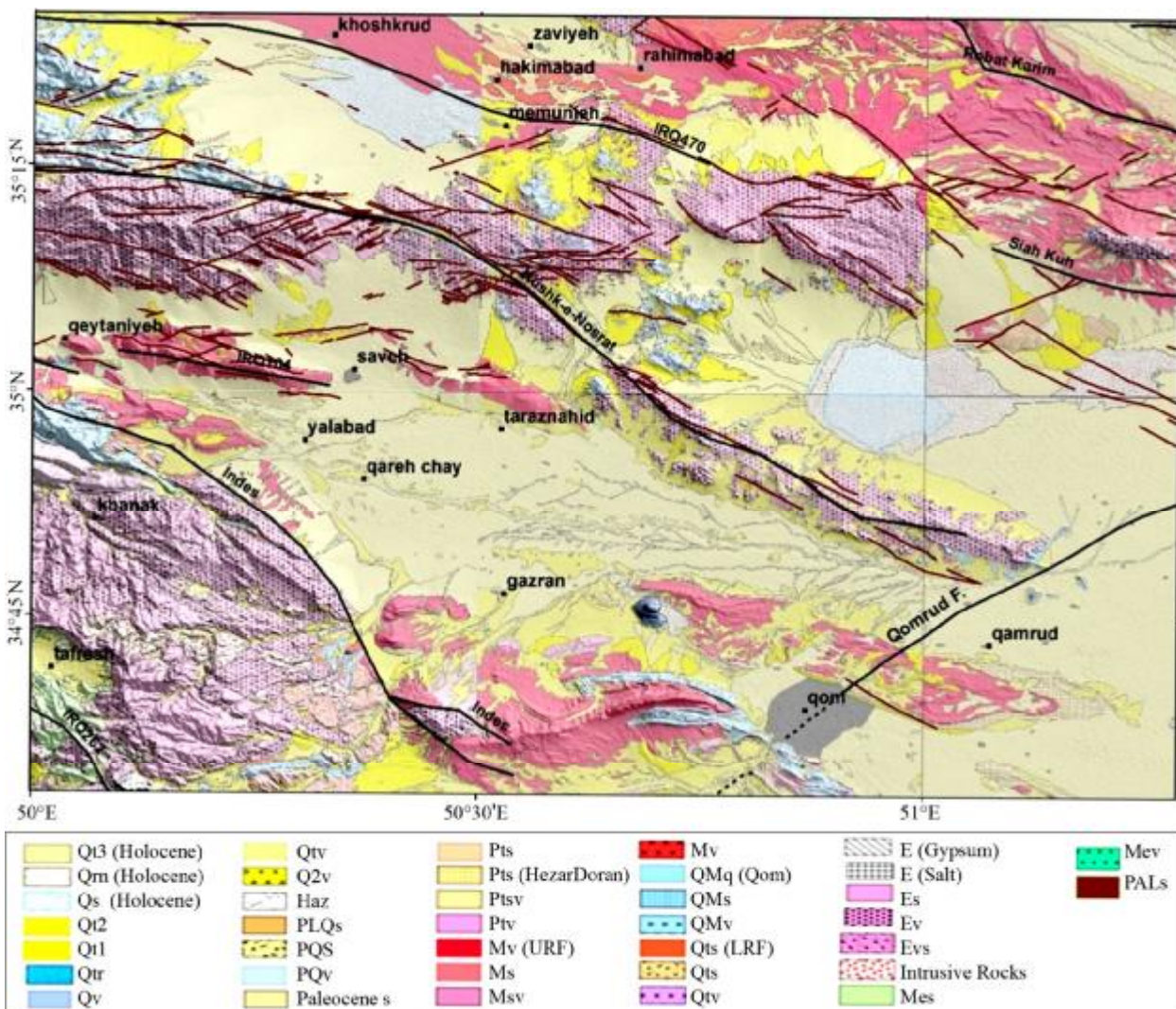
ارتفاع) در باختراحت احاطه شده است. افزون بر این در اطراف حوضه‌های ساوه، قم و حوض سلطان چندین فروافتادگی شامل دشت کویر در خاور، دشت گرمسار در شمال خاور و پرنده ک در شمال باختراحت و آران در جنوب وجود دارد (شکل ۲). این

حوضه‌های ساوه-قم-حوض سلطان در پهنه‌ی زمین ساختی ایران مرکزی واقع شده‌اند. این حوضه‌ها با بیش از ۷۵۰۰ کیلومتر مربع وسعت، با سیاه کوه در خاور، مرغاب-سفیدآب در جنوب و پهنه‌ی ماسه‌ای ارومیه-دختر (با بیش از ۲۰۰۰ متر

مجدداً ضخامت پوسته افزایش می‌یابد و به ۴۴ کیلومتر می‌رسد. این افزایش ضخامت پوسته به سمت جنوب خاور یعنی ارتفاعات سیاه کوه و دوازده امام برابر ۴۳ کیلومتر است که کاهش نسبت به بخش شمال باخته را نشان می‌دهد [۲۲]. واحدهای سنگی سنوزوئیک در منطقه، بیشتر رخمنون‌های سنگی غرب دشت کویر را تشکیل می‌دهند. قدیمی‌ترین سنگ‌های رخمنون یافته در این پهنه، سنگ‌های ماگمای اوشن است که با شکل (۴) نقشه خلاصه شده زمین‌شناسی (سازمان زمین‌شناسی). واحدهای زمین‌شناسی در زیر نقشه به نمایش درآمداند. گسلهای فعال بر اساس کار حسامی و همکاران [۲۰، ۲۱] است.

فروافتادگی‌ها، حوضه‌های درون‌قاره‌ای هستند که با رسوبات تخریبی و تبخیری از زمان ائوسن انتهایی (به جز فاصله زمانی اولیگوسن-میوسن) پر شده‌اند [۲۱]. تشکیل این حوضه‌ها را حاصل فرایش نسبی مناطق اطراف و فرونیشیت زمین‌های پست در اثر عملکرد گسل‌های راستالغز معرفی کرده‌اند و منشاء زمین‌ساخت کششی برای آن قائل شده‌اند.

بر اساس منحنی‌های ثقلی بوگه ضخامت پوسته در محدوده‌ی حوضه‌ی تبخیری دریاچه‌ی نمک و دریاچه‌ی حوض سلطان از راستای شمال باخته به جنوب خاور کاهش یافته و به ۳۹ کیلومتر می‌رسد در حالی که در راستای شمال باخته-جنوب خاور و به سمت بخش فرایش یافته ارومیه-دختر



شکل (۴): نقشه خلاصه شده زمین‌شناسی (سازمان زمین‌شناسی). واحدهای زمین‌شناسی در زیر نقشه به نمایش درآمداند. گسلهای فعال بر اساس کار حسامی و همکاران [۲۰، ۲۱] است.

تعیین کرد. به عبارت دیگر در این تحلیل می‌توان گسله‌های فعال را از غیرفعال جداسازی کرد.

بات [۲۴] با بهره‌گیری از ویژگی هندسی گسله‌ها نخستین گام را در تعیین جهت تنش برداشت. پس از این کار که مدت‌ها پایه کار زمین‌شناسان بود از سی سال پیش تاکنون پیشرفت‌های بیشتری در این راه به دست آمده است.

در پژوهش کنونی از روش‌های محاسباتی برای تحلیل جنبش گسله‌ها و تعیین جهت تنش نو زمین‌ساختی بهره برده‌ایم. منظور از تانسور تنش، تعیین جهت محورهای اصلی تنش (σ_1' : بیشینه؛ σ_2' : میانه؛ σ_3' : کمینه) است که در یک پهنه گسلی در شرایط شکننده، سامانه‌ای از صفحه‌های گسلی با هندسه متفاوت و خش خطهای وابسته به آنها را برابر صفحه گسلی پدید می‌آورد. از دیدگاه نظری مطلب بالا را بدین ترتیب باید بیان کنیم؛ چنانچه بتوانیم نیروهای وارد بر هریک از این صفحه‌های گسلی را که تحت یک تنش مشخص به تمام سامانه وارد شده است تعیین کنیم، به تانسور تنش دست یافته‌ایم. گام نخست در این راه تعیین عواملی است که در فرآیند گسلش ایجاد خش خط با جهت مشخص می‌کند که بر فرض‌های زیر استوار هستند:

گسله‌های اندازه‌گیری شده در طی یک جنبش زمین‌ساختی با تانسور مشخص همگن، پیدایش یافته یا جنبه شده‌اند. (۵) روى صفحه گسلی، سوی بیشینه تنش برشی را نشان می‌دهد. جنبش زمین‌ساختی که موجب شکل‌گیری گسله‌ها شده است، رویدادی یک‌باره و یکنواخت بوده و صفحه‌های گسلی، پذیرای هیچ چرخشی در طی این رویداد زمین‌ساختی نشده‌اند. اندازه تغییرات هندسه گسله در مقایسه با ابعاد صفحه‌های گسلی و بلوک‌های تشکیل شده بسیار اندک است.

در طی این رویداد زمین‌ساختی هیچ تغییر حجمی در توده سنگی رخ نداده است.

چنانچه شرایط بالا درباره صفحه‌های گسلی اندازه‌گیری شده حاکم نباشد کیفیت تانسور محاسبه شده دلخواه نخواهد بود. همان‌طور که در شکل (۵) نشان داده شده است مقدار خطای

۳- روش پژوهش

برای مشخص کردن فعالیت گسله‌ها به صورت عمومی سه داده به کار گرفته می‌شوند: ۱- داده‌های زمین‌شناسی، ۲- داده‌های دستگاهی، و ۳- زمین‌لرزه‌های تاریخی. در این پژوهش داده‌های زمین‌شناسی که شامل محاسبه تانسور تنش به گسله‌ها به دو روش مورد بررسی قرار گرفته‌اند. نخست در برش‌های احتمالی که می‌تواند بخشی از گسله رانمایان کند و دیگری مورفوولوژی آن است. در بازدیدهای صحرایی جابه‌جایی آبراهه‌ها و پشته‌هایی که در مسیر گسله‌های مورد مطالعه قرار می‌گیرند مورد بررسی قرار گرفته‌اند. در بسیاری از موارد جابه‌جایی‌های آبراهه و پشته‌ها بر روی عکس‌ها به خاطر کم بودن قابل شناسایی نیستند. از این رو بازدیدهای محلی می‌تواند به روش شدن این موضوع کمک کند. نوع جابه‌جایی و تانسور تنش منجر به شناخت جنبش در راستای گسله و سازوکار آن می‌شود. در این منطقه داده‌های دستگاهی و زمین‌لرزه‌های تاریخی مناسبی ثبت نشده‌اند. برای جبران این کمبود از شاخص‌های ریخت‌زمین‌ساختی که شامل هیپوسومتری و اندیس شیب رودخانه می‌شود به کار گرفته شده‌اند. مطالعه هیپوسومتری در صورتی که سازوکار گسله‌ها از نوع فشاری و یا امتدادگز فشاری باشند کمک بزرگی به شناخت گسله‌های فعال می‌کند. با تلفیق داده‌های یاد شده می‌توان برآورد درستی از سازوکار و چگونگی فعالیت گسله‌ها به دست آورد و کمبود داده‌های دستگاهی را جبران کرد.

۴- تحلیل دینامیکی

منظور از تحلیل دینامیکی آشکار کردن جهت تنش در پوسته زمین است. برای به دست آوردن این داده سه روش وجود دارد که نتایج هر سه، همخوانی بالایی با یکدیگر دارند. این روش‌ها به طور کلی در سه دسته تقسیم‌بندی می‌شوند: ۱- زمین‌فیزیکی، ۲- اندازه‌گیری بر جا، ۳- زمین‌ساختی. با در دست داشتن چنین داده‌ای می‌توان جنبش گسله‌های فعال را پیگیری و

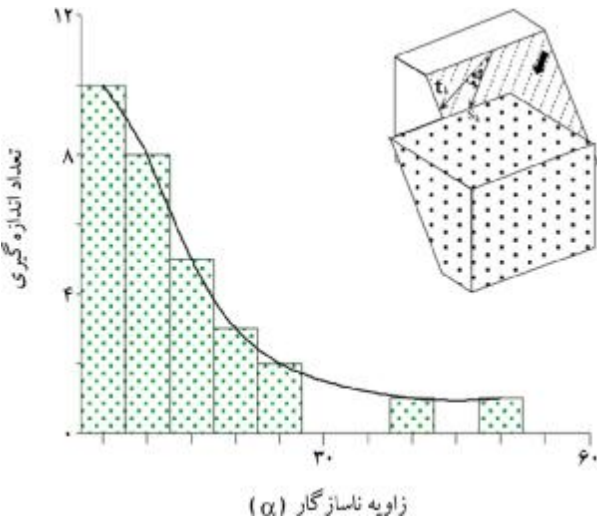
۵- جهت تنش نو زمین ساختی به روشن ژئوفیزیکی

برای به دست آوردن تانسور تنش نو زمین ساختی می باید اندازه گیری های میدانی در سنگ ها و یا آبرفت های جوان صورت بگیرد. در منطقه مطالعه شده متأسفانه چنین رخمنون هایی یافت نشدند. راه دیگر برای انجام این کار، داشتن سازو کارهای کانونی قابل اعتماد و کافی است. سازو کارهای کانونی حل شده در این منطقه گستره ای میان جنوب ساوه تا جنوب قم را در بر می گیرد. با بهره گیری از سازو کارهای کانونی تنش منطقه ای محاسبه می شود که می تواند راه گشایی برای تنش های محلی باشد. تنش های محلی به طور معمول دارای انحراف هایی هستند که تابعی از عوامل مختلف است. در سال های گذشته مؤسسه ژئوفیزیک مبادرت به حل سازو کار کانونی به روشن امواج کرده که در جدول (۱) دیده می شود و توانست کمک بسزایی در حل سازو کارهای کانونی این مطالعه داشته باشد.

در شکل (۵) حل تانسور تنش از جدول (۱) دیده می شود. تانسور حل شده از مجموعه دو صفحه سازو کار کانونی است که بر اساس واقعیت های زمین شناسی فقط یکی از این صفحه ها می تواند در میدان تنش مشخص وجود داشته باشد.

جدول (۱): سازو کارهای کانونی منطقه. تنها یک صفحه کمکی در این جدول آورده شده است. مراجع به ترتیب عبارتند از: IGUT: مؤسسه ژئوفیزیک، عکاشه* [۲۶]؛ CMT: هاروارد (حل سازو کار کانونی به روشن مدل سازی امواج)، JM: جکسون و مکنزی [۲۷]؛ PB: پریستی و همکاران [۲۸] و HRVD: هاروارد (حل سازو کار کانونی به روشن پلاریته).

اندازه گیری بر روی صفحه گسلی (S_k) و اندازه محاسباتی (τ_k) که زاویه ناهمخوانی (α) نامیده می شود باید بیشتر از ۳۰ درجه تجاوز کند و چنانچه از ۳۰ درجه بیشتر شود از آن داده صرف نظر می شود.



شکل (۵): رابطه میان خش خط اندازه گیری شده (S_k) و خش خط محاسبه شده (τ_k) در بلوك دیاگرام و توزیع پراکنده گیخطی میان دو خش خط (α) در نمودار پایین صفحه نشان داده شده است. در این نمودار، محور افقی اندازه زاویه ناهمخوانی و محور عمودی شمار اندازه گیری ها را نمایش می دهد. در این پژوهش از یکی از اولین های برنامه رایانه ای استفاده شده است [۲۵].

| منطقه | مرجع | شکاف ۱ | Dip | سطح | اندازه | طول جغرافیایی | عرض جغرافیایی | تاریخ | |
|----------|-------|--------|-----|--------|-------------------|---------------|---------------|------------|----|
| جعفریه | IGUT | ۱۳۲ | ۲۹ | ۱۳۸ | Mw ^{۳/۷} | ۵۰/۴۳ | ۳۴/۷۴ | ۲۰۱۶/۰۱/۰۳ | ۱ |
| جعفریه | IGUT | ۱۳۵ | ۲۹ | ۱۴۴ | Mw ^{۳/۹} | ۵۰/۴۳ | ۳۴/۷۵ | ۲۰۱۶/۰۱/۰۳ | ۲ |
| عکاشه* | -۱۶۸ | ۴۴ | ۳۱۴ | Mw ۴/۶ | ۴۹/۷۱۲ | ۳۵/۲۴۴ | ۲۰۱۳/۱۰/۱۶ | | ۳ |
| | CMT | ۱۲۴ | ۶۶ | ۱۴۴ | Mw ۵/۵ | ۵۰/۷۹ | ۳۴/۴۷ | ۲۰۰۷/۰۶/۱۸ | ۴ |
| محلات | HRVD | ۱۵۷ | ۴۵ | ۱۳۵ | Mb ۵/۶ | ۵۰/۴۴ | ۳۳/۹۶ | ۱۹۸۰/۱۲/۱۹ | ۵ |
| شورآب قم | JM84* | ۱۳۶ | ۴۰ | ۱۲۹ | Mb ۵/۶ | ۵۰/۶۵ | ۳۴/۵۹ | ۱۹۸۰/۱۲/۱۹ | ۶ |
| جنداب | PB 94 | ۱۲۰ | ۴۱ | ۱۱۵ | Mb ۵/۵ | ۵۰/۶۷ | ۳۴/۵۰ | ۱۹۸۰/۱۲/۱۹ | ۷ |
| ساوه | HRVD | ۱۳۳ | ۵۹ | ۱۲۲ | Mb ۵/۵ | ۵۰/۳۱ | ۳۴/۰۹ | ۱۹۸۰/۱۲/۲۲ | ۸ |
| فتح آباد | JM84* | ۳۸ | ۵۶ | ۲۳۰ | Mb ۵/۵ | ۵۰/۵۹ | ۳۴/۵۰ | ۱۹۸۰/۱۲/۲۲ | ۹ |
| گیو | CMT | ۱۳۸ | ۵۹ | ۱۲۲ | Mb ۵/۵ | ۵۰/۳۱ | ۳۴/۰۹ | ۱۹۸۰/۱۲/۲۲ | ۱۰ |
| گیو | JM84* | ۱۳۰ | ۶۰ | ۲۳۲ | Mb ۵/۳ | ۵۵/۶۳ | ۳۶/۵۶ | ۱۹۷۱/۰۲/۱۴ | ۱۱ |

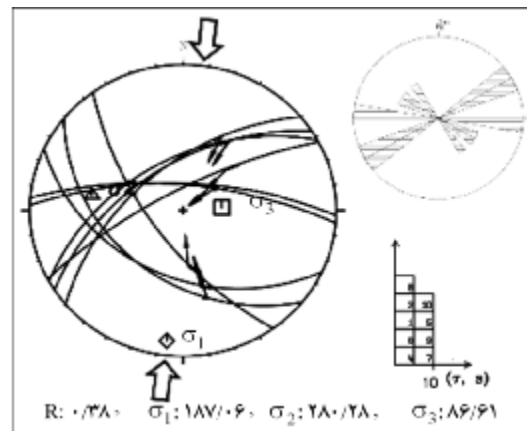
کرد. به طور یقین شناخت تنش نو زمین‌ساختی وقتی حاصل می‌شود که سازوکارهای کانونی در محاسبات تانسور تنش گنجانده شوند و یا اندازه‌گیری صفحه‌های گسلی در واحدهای بسیار جوان چون هولوسن انجام بگیرد. در پژوهش حاضر به علت کمبود داده‌های سازوکار کانونی امکان محاسبه تانسور تنش نو زمین‌ساختی مطمئن وجود نداشت، از این‌رو تنها با اتکا به محور فشردگی سازوکار کانونی می‌توان یک برآورد اولیه داشت. آنچه در این پژوهش به عنوان کارهای میدانی ارائه می‌شود بخشی از گزارش تحقیقاتی است [۲۹] که در آن تحول میدان تنش به صورت کامل بیان شده و در این مقاله تنها به یافته‌های تنش نو زمین‌ساختی آن اشاره می‌شود.

۱-۱-۵-ایستگاه برمین

پس از گذشتن از رازقان به سوی روستای بیج‌گرد روستای برمین قرار دارد. در بالاترین نقطه گذرگاه اندازه‌گیری در واحد سنگی و آبرفتی با سن‌های اوسن و قدیمی‌تر رخنمون دارند. در این گردنده دو رخنمون نزدیک به هم وجود دارند. اولین رخنمون متشکل از سنگ‌های آندزیت هستند. گسلهای اثر گذار با روندهایی در طیفی میان (N40E) تا خاوری-باختری با سازوکار راست‌الغز راست‌بر همراه با مؤلفه‌های کششی هستند. با گذشتن از این رخنمون به سوی روستای بیج‌گرد رخنمون دیگری در کنگلومرا اوسن ظاهر می‌شود. در این رخنمون بیشتر گسلهای شمالی-جنوبی با سازوکار راست‌الغز چپ بر با مؤلفه کششی دیده می‌شوند. روندهای شمالی-جنوبی با سازوکار راست‌الغز چپ بر و مؤلفه شاقولی کششی، روندهای شمال باختری را می‌برند. این روندها در تانسور تنش به نام (B3) محاسبه شده‌اند (شکل ۷).

روندهای گسلی شمالی-جنوبی با توجه به این واقعیت که سایر روندهای گسلی را می‌برند و همچنین نزدیک به روند شمال خاوری هستند در زمرة جوان‌ترین جنبش‌ها در این رخنمون به حساب می‌آیند و از این‌رو جهت تنش محاسبه شده منعکس کننده تنش نو زمین‌ساختی است. تانسور تنش این ایستگاه با علامت (B3) مشخص شده است (شکل ۷). این

از این‌رو در این روش یکی از دو صفحه سازوکار کانونی از محاسبات حذف می‌شود و فقط یکی از صفحه‌ها که نماینده واقعی چارچوب زمین‌ساختی است باقی می‌ماند. همان‌طور که در شکل (۶) دیده می‌شود تانسور حل شده سه روند مهم را به عنوان صفحه گسلی منطقه مشخص کرده است. اولین روند (N055±05E) با سازوکار مورب لغز فشاری چپ بر است و دومین روند چیره را سه روند در طیفی (N130±15E) با سازوکار مورب لغز فشاری راست‌بر تشکیل می‌دهند که در این پژوهش آنها در رده روندهای شمال باختری قرار داده شدند. سومین روند شامل دو روند خاوری-باختری با سازوکار فشاری با مؤلفه افقی چپ بر می‌شود. تانسور حل شده با بیشینه تنش نزدیک به شمالی-جنوبی (N007E) در رژیم زمین‌ساختی ترافشاری است که با فاکتور بیضوی (R=0.38) در زیر شکل (۶) دیده می‌شود.



شکل (۶): محاسبه سازوکارهای کانونی به روش برگشتی. بالای تصویر سمت راست نمودار گل‌سرخی، پایین سمت راست نمودار زاویه ناهمخوانی و سمت چپ تانسور تنش حل شده با نمایش سازوکارهای پایین تصویر مقدار بیضوی تنش (R) و مقادیر تنش‌های بیشینه تا کمینه دیده می‌شود.

۱-۵-تنش نو زمین‌ساختی به روش زمین‌شناسی

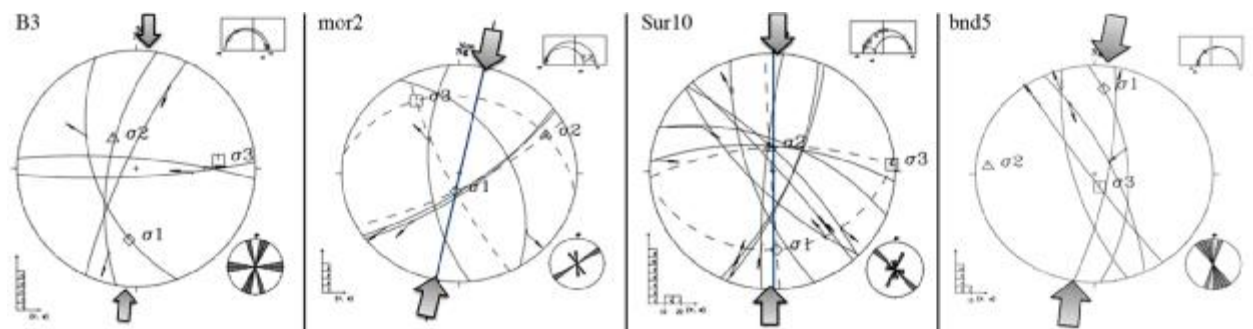
زمین‌شناس در کارهای میدانی هیچ گاه نمی‌تواند بداند که خش خط‌های اندازه‌گیری شده متعلق به کدام فاز دگر شکلی هستند. این عدم یقین به خصوص در واحدهای سنگی با سن‌های قدیمی‌تر افزایش پیدا می‌کند. در نتیجه پس از اندازه‌گیری و محاسبه تانسورهای تنش می‌توان با تفکیک فازهای مختلف با اطمینان بیشتری از تنش دیرینه و تنش نو زمین‌ساختی صحبت

(شکل ۶ و جدول ۲). صفحه‌های گسلی اندازه‌گیری شده در طیف گسل‌های شمالی - جنوبی قرار می‌گیرند. آنچه به صورت عمومی در مورد این ایستگاه و بقیه ایستگاه‌ها دیده شده است را می‌توان در این جمله خلاصه کرد: روندهای شمالی - جنوبی صفحه‌های گسلی مناسی برای مشاهده نسل‌های مختلف خش خط‌ها هستند. در این ایستگاه جهت تنش نو زمین ساختی را تانسور تنشی تعریف می‌کند که مجموعه‌ای از روندهای گسلی شمالی - جنوبی و نزدیک به شمال باختری با سازوکار راستالغز تشکیل می‌دهد (شکل‌های ۷ و ۸، جدول ۲).

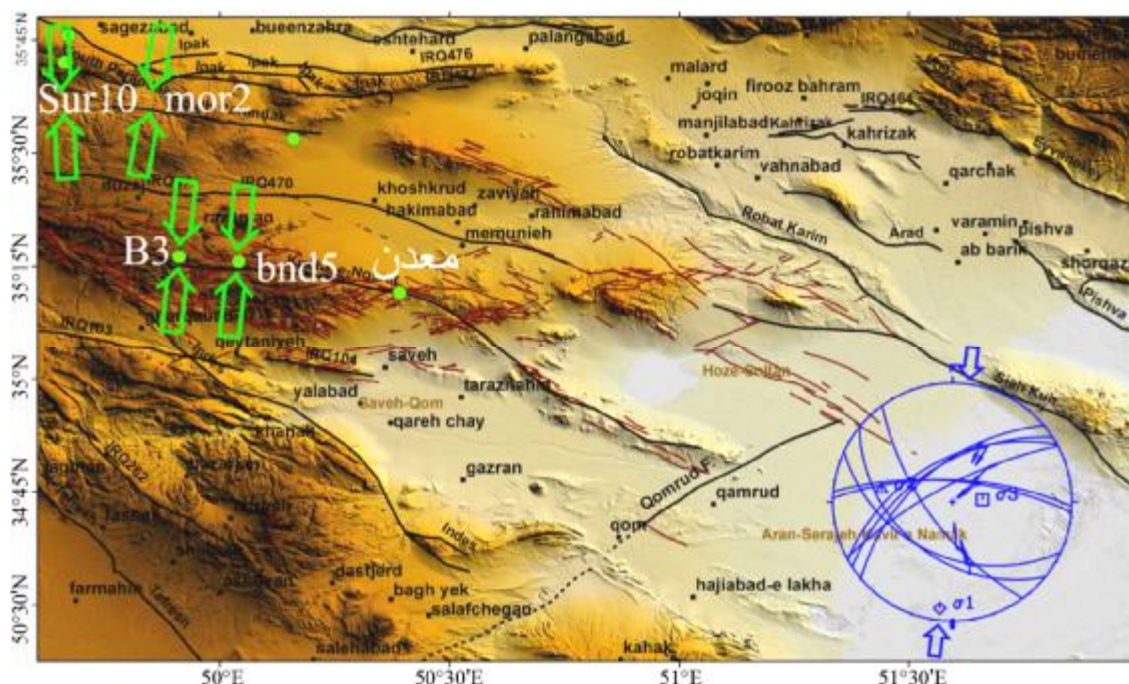
تانسور را صفحه‌های گسلی با روند نزدیک به شمالی - جنوبی و سازوکارهای راستالغز کششی به همراه روندهای خاوری - باختری پر شیب با سازوکار راستالغز تشکیل می‌دهد (شکل ۸).

۵-۱-۲-۲- ایستگاه بند امیر

این ایستگاه در خارج از روستا به سوی آبگیر در جنوب روستا رخنمون دارد. تانسور تنش محاسبه شده با جهت تنش شمالی - جنوبی یک رژیم زمین ساختی راستالغز فشاری را دیکته می‌کند. سنگ‌هایی که در آنها اندازه‌گیری شد واحدهای آندزیتی هستند



شکل (۷): تانسورهای حل شده برای ایستگاه برمین (B3)، مرادیگلو (mor2)، بند امیر (sur10) و سورواجین (band5) به کمک صفحه‌های گسلی و خش خط‌های مربوطه. پایین سمت چپ تصویر زاویه ناهمخوانی و سمت راست دیاگرام گل‌سرخی داده شده‌اند.



شکل (۸): جهت‌های تنش بیشینه در چهار ایستگاه اندازه‌گیری با نام‌های سورواجین (Sur10)، مرادیگلو (mor2)، برمین (B3)، بند امیر (bnd5) و ایستگاه معدن. تانسور محاسبه شده از سازوکارهای کانونی در پایین تصویر سمت راست به نمایش در آمد. گسلهای فعال بر اساس کار حسامی و همکاران [۲۰، ۲۳] است.

جدول (۲): نتایج به دست آمده از حل تانسورهای تنش. محورهای اصلی تنش و فاکتور بیضوی تنش که نشان‌دهنده‌ی رژیم زمین‌ساختی است به تفکیک آورده شده‌اند. برای نام ایستگاه‌ها به شکل (۲) مراجعه شود.

| نام | طول جغرافیایی /عرض جغرافیایی | σ_1 (Az/Plg) | σ_2 (Az/Plg) | σ_3 (Az/Plg) | R | رژیم زمین‌ساختی |
|-------|------------------------------|---------------------|---------------------|---------------------|------|-----------------|
| B3 | ۴۹/۹۱ / ۳۵/۲۷ | ۱۸۶ / ۲۷ | ۳۲۲ / ۵۵ | ۰۸۴ / ۲۱ | ۰/۰۶ | راستا لغز کششی |
| Bnd5 | ۵۰/۰۴ / ۳۵/۲۶ | ۰۰۶ / ۱۳ | ۲۷۴ / ۰۶ | ۱۶۰ / ۷۵ | ۰/۹۸ | کششی |
| Sur10 | ۴۹/۶۷ / ۳۵/۷۶ | ۱۷۷ / ۲۳ | ۳۵۳ / ۶۷ | ۰۸۷ / ۰۱ | ۰/۷ | کششی راستالغز |
| mor2 | ۴۹/۶۶ / ۳۵/۷۰ | ۱۹۰ / ۷۱ | ۰۶۵ / ۱۲ | ۳۳۱ / ۱۵ | ۰/۲ | فشاری راستالغز |

۱-۳-۳- ایستگاه سورواجین

به آن توجه داشت، برهم کنش عناصر ساختاری با جنبش‌های نو زمین‌ساختی، ویژگی‌های چینه‌ساختی و تاریخچه زمین‌ساختی آنهاست. به این معنی که رویداد دگر‌شکلی‌های چند مرحله‌ای و بلند مدت در دل این گونه کوهزادها سبب می‌شود که سامانه‌های فرسایشی نیز به عنوان عوامل مؤثر در ریخت‌شناسی کوهزادها، رفتارهای گوناگون و پیرو آن، الگوهای پیچیده‌ای از خود بروز دهند. در این صورت پیدا کردن الگوهای مشخص آبراهه‌ای در دل کوهزادها بسیار دشوار است و آنچه به چشم می‌آید، الگوهای دگر شکل شده‌ای است که ممکن است چندین بار بر روی هم نقش بسته باشند. به این خاطر در تفسیر آنها عوامل گوناگونی را در پیوند با زمان، شیوه دگر‌شکلی و تغییرات زمین‌ساختی در گذر زمان، باید در نظر گرفت. با این توضیح به شرح ویژگی پهنه‌های جدا شده در البرز مرکزی- خاوری می‌پردازیم.

۷- زهکشی در بخش مرکزی گسله کوشک نصرت

در بخش مرکزی گسله کوشک نصرت که با روند نزدیک به (E N100) از میان سنگ‌های رسوبی و آذرین اوسن و کرتاسه می‌گذرد حوضه زهکشی به دو بخش شمالی و جنوبی در دو سوی گسله شده است. از دیدگاه ارتفاعی گسله از بلندترین ارتفاعات عبور می‌کند. قرارگیری گسله در ارتفاع باعث شده تا ارتباط میان آبراهه‌ها به طور کامل قطع شوند. از سوی دیگر نمی‌توان با قاطعیت در مورد اثرگذاری حرکت‌های افقی گسله بر روی شبکه زهکشی نظر داد. در شمال و جنوب گسله نمی‌توان آبراهه‌ای را به صورت مشخص نشان داد که متأثر از جابه‌جایی باشد و یا دلالت بر حرکت‌های افقی گسله کند.

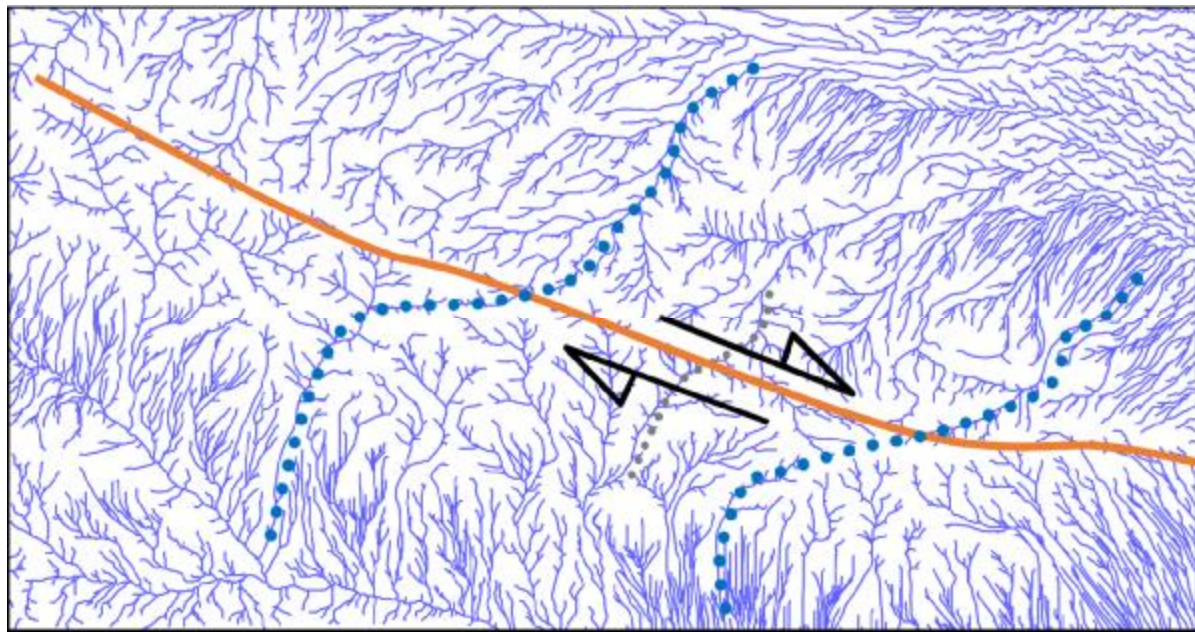
این ایستگاه در سنگ‌های توف ائوسن اندازه گیری شد که در راه میان روستا و معدن سنگ سورواجین زیر خرابه‌های محل پیشین روستا انجام شد. از داده‌های گسلی این رخمنون سه تانسور تنش به دست آمد. بیشترین داده‌ها با جهت تنش شمالی- جنوبی در رژیم زمین‌ساختی راستالغز فشاری همخوان است (شکل ۷- sur10 و جدول ۲). در این رخمنون امکان بازکاری گسله‌های قدیمی با روند شمال باخته- جنوب خاوری دیده می‌شود. با توجه به اینکه این رخمنون در مرز کوه به دشت وجود دارد می‌توان انتظار فعال بودن این گسله‌ها را داشت. تانسور محاسبه شده در این ایستگاه شامل سه روند گسلی می‌شود: ۱- روندهای شمالی- جنوبی با سازوکار راستالغز، ۲- روندهای شمال باخته با سازوکار راستالغز فشاری با شیب به سوی جنوب باخته، و ۳- خاوری- باخته با سازوکار راستالغز فشاری راست بر (شکل‌های ۷ و ۸ و جدول ۲).

۴-۱-۵- ایستگاه موادبیگلو

جهت تنش نو زمین‌ساختی از مجموعه گسلی با روندهای شمال خاوری (N65E) و سه صفحه گسلی نزدیک به روند شمالی- جنوبی محاسبه شد. روندهای شمال خاوری صفحه‌های گسلی پرشیب با سازوکار راستالغز راست بر و روندهای شمالی- جنوبی با شیب متوسط از نوع راستالغز با مؤلفه کششی هستند. این ایستگاه با نام (mor2) در شکل‌های (۷) و (۸) دیده می‌شود.

۶- گسله‌ها و شبکه‌های آبراهی

آنچه در هنگام بررسی گسترده‌های پیچیده‌ای مانند البرز باید



شکل (۹): شبکه زهکشی بخش میانی گسله کوشک نصرت را نشان می‌دهد. خطوط نقطه‌چین بر روی تصویر جابه‌جایی آبراهه‌ها را به صورت راست‌گرد نشان می‌دهد. برای مکان این منطقه به شکل (۲) مراجعه شود.

اندازه‌گیری است. بر روی این روند می‌توان تا سه نسل خشن خط اندازه‌گیری کرد. در جنوب روستای بند امیر پهنه گسلی همچنان به صورت یک دره باریک ظاهر می‌شد که جابه‌جایی‌های گسل بر روی یال شمالی این دره که در جنوب آبگیر روستا قرار گرفته دیده می‌شود. در اینجا نیز مانند مقطع قبلی جابه‌جایی راست‌گرد آبراهه‌ها و پشته‌ها با اندازه‌های قابل توجه دیده می‌شوند (شکل ۷).



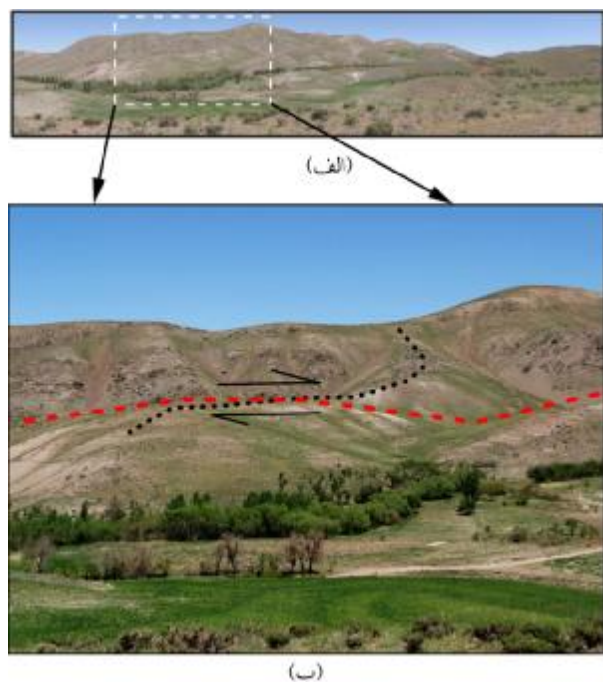
شکل (۱۰): نمایی از مورفولوژی گسله کوشک نصرت در جنوب روستای بند امیر. گسله با خط قرمز و آبراهه که راست‌گرد جابه‌جا شده با خط‌چین آبی رنگ مشخص شده است. جای این رخمنون در شکل (۸) مشخص شده است.

تنها در یک مورد می‌توان یک جابه‌جایی راست‌گرد که با پیوستگی در دو سوی گسله همراه است مشخص کرد. این پیوستگی بر روی شکل (۹) با خطوط نقطه‌چین سبز رنگ نشان داده شده است. دو آبراهه دیگر به صورت ناپیوسته وجود دارند که می‌توانند قبل از فراز گیری به عنوان زهکش پیوسته عمل کرده باشند. این دو آبراهه در شکل (۹) با خطوط نقطه‌چین آبی رنگ مشخص شده‌اند. آنچه به صورت عمومی می‌توان بیان کرد آن است که هر سه آبراهه ترسیم شده بر روی شکل (۹) نشان‌دهنده‌ی یک حرکت راست‌گرد در راستای گسله کوشک نصرت در بخش میانی آن است. این جابه‌جایی در هماهنگی با جهت تنش شمالی-جنوبی است.

۹- مطالعات ریخت‌زمین‌ساختی

رخمنونی از سنگ‌های آندزینی در جنوب روستای بند امیر در ضلع خاوری دره مورد بررسی و اندازه‌گیری قرار گرفت. مجموعه‌ای از گسل‌های شمالی-جنوبی با سازوکارهای امتداد لغز راست‌گرد و چپ‌گرد با مؤلفه‌های متفاوت فشاری و کششی دیده می‌شود. روند دیگر در طیف میان (E 100-125 N) قابل

در این معدن سنگ‌های آذرین و سنگ‌های آهکی در کنタکت با یکدیگر قرار دارند (شکل ۸). در این معدن بر روی سنگ‌های آهکی سطوح گسلی با خش خطهای فاییری (رشد کلسیت) به آسانی قابل اندازه‌گیری است. صفحه‌های گسلی هم‌روند با روند عمومی (N 110 E) گسله کوشک نصرت در اینجا یانگر سازوکار راست‌گرد فشاری با نسبت مؤلفه‌های افقی به عمودی (۱:۱) می‌باشد.



شکل (۱۱): (الف) نمای دور از مورفولوژی، (ب) تصویری از یک پشه جابه‌جا شده که حرکت راست‌بر گسله کوشک نصرت را نشان می‌دهد (روستای بند امیر).

۱-۱-۹- مورفولوژی گسل کوشک نصرت در شمال ساوه
در باختر معدن سنگ (شکل ۱۲) بخشی از گسل کوشک نصرت با نهشته‌های بسیار جوان (سن نامشخص) پوشیده شده است (محل تقاطع جاده گاز تا معدن سنگ، شکل ۱۳). در این محل سنگ‌های آهکی ارتفاعاتی را می‌سازند که با گسلهای راست‌الغز شمالی-جنوبی همراه با مؤلفه‌های کششی متأثر شده‌اند. در جنوب این رخمنون جاده‌ای که برای انتقال لوله گاز احداث شده است از محل معدن ممکن است (شکل ۱۳-الف و ب). اثر سطحی گسل به خاطر قرار گیری دو نوع سنگ متفاوت (آهک، سفیدرنگ) و سنگ‌های آذرین با رنگ قرمز تیره در راستای گسله به آسانی قابل تشخیص است.

۱-۹- شمال ساوه

در راستای جاده قدیم ساوه یک معدن سنگ در پهنه گسلی کوشک نصرت به صورت روبرو باز برداری می‌شود (شکل ۱۲).



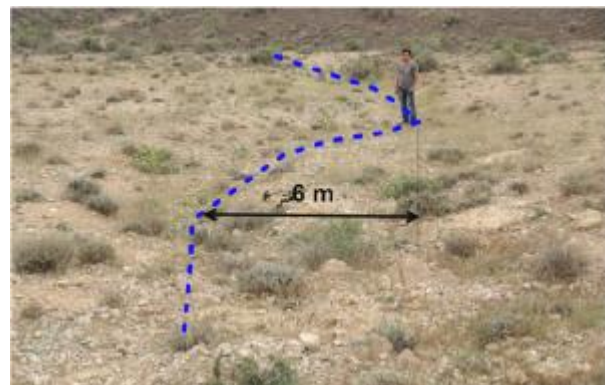
شکل (۱۲): تصویر ماهواره‌ای (Google Earth) محل عبور گسل کوشک نصرت و محل پیمایش شکل (۱۰) را نشان می‌دهد.



شکل (۱۳): (الف) تصویر ماهواره‌ای محدوده معدن سنگ در شمال ساوه. ب) نقشه شماتیک از زمین‌شناسی محدوده معدن. واحدهای کواترنری با حرف Q مشخص شده است.



شکل (۱۵): نمایی از اثر گسله که از میان سنگ‌های آهکی و آذرین می‌گذرد و یانگر جایه‌جایی شاقولی بسیار اندک در راستای گسله است.



شکل (۱۴): جایه‌جایی راست‌گرد در نهشته‌های کواترنری با اندازه ۶ متر همراه با جایه‌جایی شاقولی بسیار کم در باختر معدن سنگ.

۱۰- شاخص‌های ریخت‌زمین‌ساختی

مطالعه‌ی عوارض سطحی به وجود آمده با منشاً زمین‌ساخت در مناطقی که مطالعات دیرینه لرزه‌زمین‌ساخت و پیشینه لرزه‌ای دستگاهی و تاریخی کافی نیست از اهمیت بالایی برخوردار است تا بتوان پتانسیل رخداد زمین‌لرزه‌ها را برآورد کرد. ریخت‌سنجدی یک ابزار مقایسه نسی برای سطح فعالیت زمین‌ساختی بخش‌های مختلف پوسته با کمترین میزان محاسبه است. کاربرد شاخص‌ها به دلیل سهولت در محاسبه و خطای کم در تشخیص مناطق فعلی کاربرد فراوان دارد. محاسبه این شاخص‌ها با تصاویر ماهواره‌ای رقومی ارتفاعی (DEM) امکان‌پذیر است. در این مطالعه از تصاویر رقومی ارتفاعی SRTM با دقت ۹۰ متر استفاده شده است. در این مطالعه فعالیت تکه‌های مختلف گسل کوشک نصرت با

نهشته‌های جوانی که مرز این دو واحد سنگی را می‌پوشانند اثری از افزار گسلی نشان نمی‌دهند اما در دو جایه‌جایی آبراهه‌ها به اندازه ۶ متر و ۸ متر به صورت راست‌بر اندازه گیری شد (شکل ۱۴). جایه‌جایی آبراهه بدون هیچ اثر مورفوژیکی (جایه‌جایی شاقولی) وابسته به آن حاکی از قدیمی بودن حرکت و یا فرسایش با آهنگ بالاست (شکل ۱۵). با توجه به بارش باران کم در این منطقه نمی‌توان نظر فرسایش بالا را پذیرفت. نبود جایه‌جایی شاقولی را باید هم در اثر حرکت قدیمی دانست و هم می‌توان از پدیده اتفاقی بودن جایه‌جایی‌های راست‌گرد آبراهه‌ها دانست. همان‌گونه که در بخش‌های قبلی آثار ژئومورفیک مبنی بر راست‌گرد بودن این گسله ارائه شد می‌توان درست بودن جایه‌جایی‌های راست‌گرد را هم از نوع واقعی دانست.

انتگرال هیپسومتری و منحنی‌های S مانند، نشان‌دهنده‌ی مرحله بلوغ است [۳۶]. مطابق با شکل (۱۶)، تنها شاخص هیپسومتری ارتفاعات شمال روستای قیطانیه (در فرادیواره گسل ساوه) را فعال نشان می‌دهد. رومرکز زمین لرزه ۲۰۱۲/۲۹/۰۴ شمال باخته ساوه و بزرگ‌گای $M_I = 2/5$ منطبق بر این بخش است (شکل‌های ۱۵ تا ۱۸).

پایانه باخته گسله سیاه کوه شاخص‌های مورفومتریک متوسط تا بالا را نشان می‌دهد که نشان‌دهنده‌ی فعالیت‌های شاقولی در راستای آن است (شکل ۱۹).

۱۰- شاخص شیب طول رودخانه

یکی از شاخص‌های حساس به حرکات فرایشی شاخص شیب رودخانه است. این شاخص با قدرت فرسایشی جریان رودخانه در ارتباط است [۳۸، ۳۱]. قدرت رودخانه با شیب کاف کanal و میزان زهکشی متناسب است [۳۱] به این صورت که مقادیر بالای این شاخص نشان‌دهنده‌ی مقاومت فرسایشی بالای لایه‌های سنگی یا حضور پهنه‌های زمین‌ساختی فعال است [۳۱]. در حوضه‌های رودخانه‌ای کوچک در مناطق زمین‌ساختی فعال، این شاخص یک ابزار معابر برای تشخیص فرآیندهای اولیه فعالیت زمین‌ساختی محسوب می‌شود [۳۹].

ایجاد گسل‌های شیب‌لغز در سنگ‌های مقاوم سبب اختلاف ارتفاع قابل توجه در نیميخ طولی رودخانه می‌شود در صورتی که گسلش در سنگ‌های سست تغییر قابل توجهی در میزان SL به وجود نمی‌آورد. یک ناحیه با شاخص SL بالا بر روی سنگ‌های نرم و سست می‌تواند وجود فعالیت‌های زمین‌ساختی جوان را تأیید کند.

توجه به شاخص‌های ژئومورفیک مورد بررسی و ارزیابی قرار گرفته است.

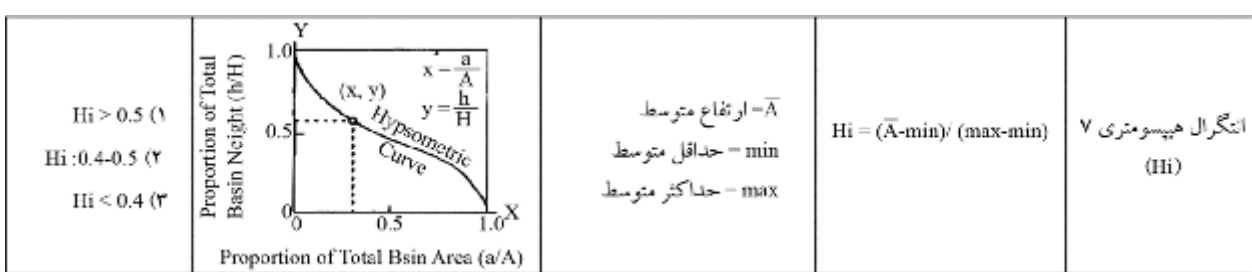
شاخص‌های ژئومورفیک برای تعیین سطح فعالیت زمین‌ساختی در پهنه‌هایی با زمین‌ساخت فعال به کار می‌روند و یک برآورد اولیه برای تشخیص مناطق زمین‌ساختی فعال ارائه می‌کند [۳۱-۳۰]. رودخانه‌ها به عنوان یکی از مهم‌ترین ابزارهای شناسایی حرکات فرایشی شناخته می‌شوند. به منظور بررسی حرکات فرایشی گسل‌های منطقه، مطالعات ریخت‌زمین‌ساختی رودخانه‌های جاری در این دو حوضه انجام شد. الگوهای حوضه آبریز رودخانه‌ها اطلاعات ارزشمندی در مورد زمین‌ساخت دیرین و کنونی ناحیه دارند. در یک سامانه رودخانه‌ای متعادل، فرسایش و فرایش با هم در تعادل است و شیب رودخانه‌ها که میزان فرسایش را مشخص می‌کنند به گونه‌ای تنظیم می‌شوند که اختلاف نرخ فرایش با اختلاف فرسایش هماهنگ شود [۳۲].

۱-۱- شاخص انتگرال هیپسومتری

این شاخص یانگر توزیع مساحت ارتفاعات متفاوت است [۳۳] و از رابطه زیر به دست می‌آید [۳۶-۳۴]:

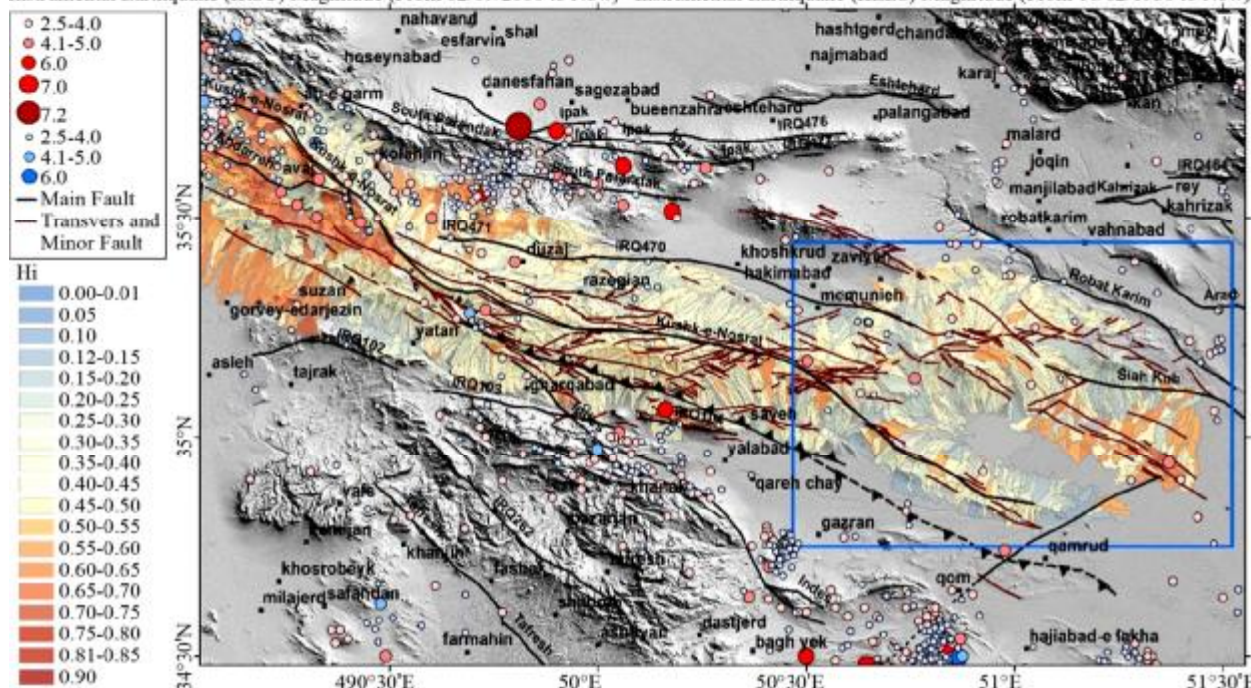
$H = \frac{1}{A} \int_0^A H(x) dx$

ارتفاع متوسط حوضه است که از میانگین ۵۰ نقطه ارتفاعی به صورت تصادفی و از DEM حوضه به دست آمده است. انتگرال هیپسومتری به صورت غیر مستقیم فعالیت‌های زمین‌ساختی را منعکس می‌کند. مقادیر بالای این شاخص نشان‌گر عوارض جوان است که با احتمال در اثر حرکات زمین‌ساختی به وجود آمده‌اند. همچنین می‌تواند در اثر حفر جدید یک سطح ژئومورفیک جوان ایجاد شده باشد [۳۷]. مقدار متوسط از

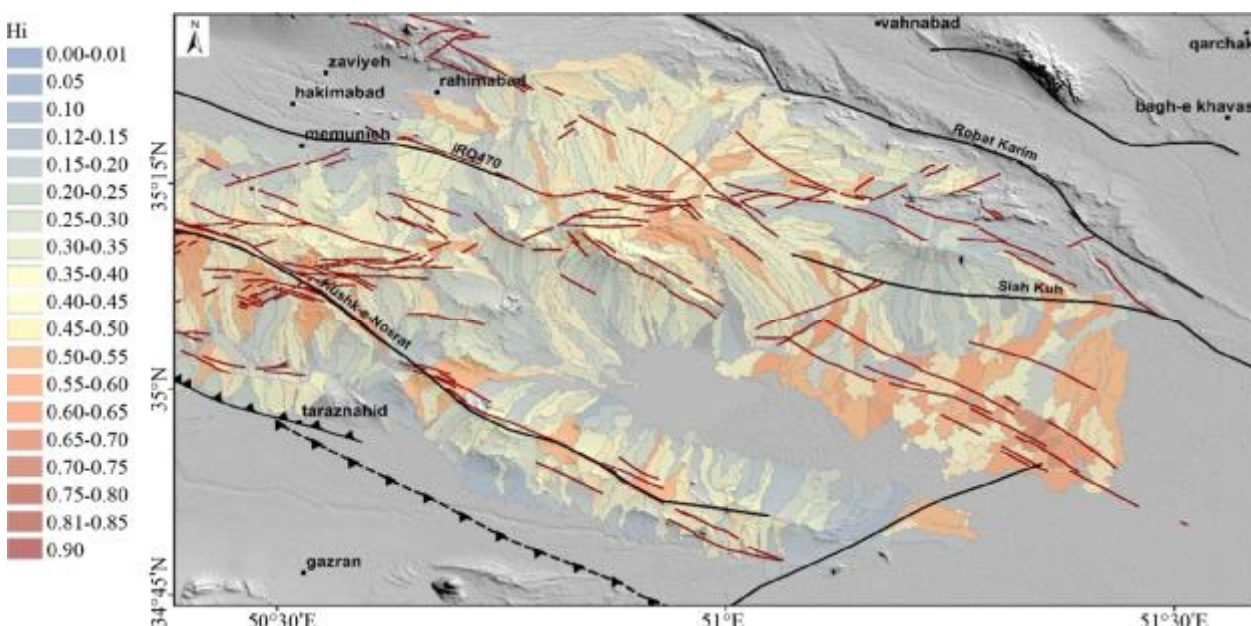


شکل (۱۶): محاسبه شاخص هیپسومتری [۳۳].

Instrumental Earthquake (IRSC) Magnitude (From 02/09/2006 to Now) Instrumental Earthquake (IEES) Magnitude (From 10/02/1930 to Now)



شکل (۱۷): توزیع شاخص هیپوسومتری در راستای گسل کوشک نصرت و گسل‌های عرضی با راستای شمال خاور. حوضه‌های زهکشی و محاسبه شاخص بر اساس تصاویر ارتفاعی رقومی SRTM با دقت ۹۰ متر انجام گرفته است. لرزه‌خیزی منطقه با دایره زیر شکل توضیح داده شده است. مربع آبی رنگ مربوط به شکل (۱۸) است. گسل‌ها فعال بر اساس کار حسامی و همکاران [۲۳، ۲۰] است. به صورت عمومی آنچه از گسله کوشک نصرت دیده می‌شود را می‌توان در دو تکه خلاصه کرد: ۱- بخشی از گسله که روند نزدیک به خاوری - باختり دارد از فعالیت به نسبت کم فرآیندی برخوردار است. البته این کمبود را می‌توان به سازوکار گسله نسبت داد به شرطی که ثابت شود سازوکار کنونی آن راستالغز مغضن باشد. در محل خمس این گسله که از روند خاوری - باختり به شمال باختり تبدیل می‌شود فعالیت‌های شاقولی دیده می‌شود. با نزدیک شدن این گسله به سوی دریاچه قم بخش‌هایی از گسله به صورت پراکنده حرکت‌های شاقولی فعال نشان می‌دهد. با حرکت به سوی شمال باختり این روند گسلی فعالیت‌های شاقولی گسله‌ها به حد اثمر می‌رسد (شکل ۱۸). پیوند میان گسله کوشک نصرت با گسله سیاه کوه را گسله‌های ناپیوسته با سازوکار فشاری تشکیل می‌دهند. روند این گسله‌ها به نظر می‌رسد تداخلی از روندهای خاوری - باختり با شمال باختり باشد.



شکل (۱۸): توزیع شاخص هیپوسومتری در پایانه باختري گسله سیاه کوه و پیوند گسلی آن با گسله کوشک نصرت. حوضه‌های زهکشی و محاسبه شاخص بر اساس تصاویر ارتفاعی رقومی SRTM با دقت ۹۰ متر انجام گرفته است. گسله‌های فعال بر اساس کار حسامی و همکاران [۲۳، ۲۰] می‌باشد.



شکل (۱۹): محاسبه شاخص شب طول رودخانه.

جهه‌ی کوهستان و یا حضور گسل‌های فعال با مؤلفه‌ی بزرگ جابه‌جایی قائم باشد.

بر اساس نقشه‌های ۱:۱۰۰۰۰، ساوه، تفرش راستای گسل ایندس و بخش خاوری فرادیواره گسل ساوه از مرز تغییرات شاخص گرادیان طول متابعت می‌کند. بنابراین این شب‌های تند به احتمال در اثر عملکرد فعال این گسل‌ها ایجاد شده است. در مقابل راستای کوشک نصرت مقادیر بالایی را برای شاخص طولی رودخانه نشان نمی‌دهند.

با توجه به سنگ‌شناسی سازندۀای داخل حوضه‌های فروافتاده منطقه به نظر می‌رسد که جذب جابه‌جایی‌ها به وسیله سازند سرخ زیرین و بخش زیرین سازند سرخ بالایی سبب شده است که تغییرات شب شاخص طولی در راستای گسل‌های مدفون احتمالی چندان شاخص نیست. در حال حاضر با توجه به وجود نیروهای فشاری درون حوضه، وجود راندگی‌های مدفون در داخل حوضه ضروری است. بنابراین تنها بر اساس تغییرات مقادیر S1 نمی‌توان نظری در ارتباط به سطح فعالیت و میزان جابه‌جایی شب‌لغز این گسل‌ها داد.

بیشینه مقادیر شاخص S1 در داخل حوضه در راستای گسل‌های راندگی با اثر گسیختگی سطحی مشاهده می‌شود. بر این اساس بخش‌های خاوری راندگی ساوه مقادیر شاخص طولی بالایی نشان می‌دهد. رودخانه‌ها در این بخش جابه‌جایی‌های راست‌لغز راست‌بر قابل توجهی نشان می‌دهند. سایر پیش‌راندگی‌ها در فرادیواره گسل ساوه در شمال خاور گسل ساوه نیز همانند گسل ساوه جابه‌جایی‌های شب‌لغز بالایی در رخمنون‌های آبرفتی کواترنر نشان می‌دهد (شکل‌های ۲ و ۱۹). بنابراین یکی از نقاط فعال حوضه‌ی ساوه، پیش‌راندگی‌هایی است که در

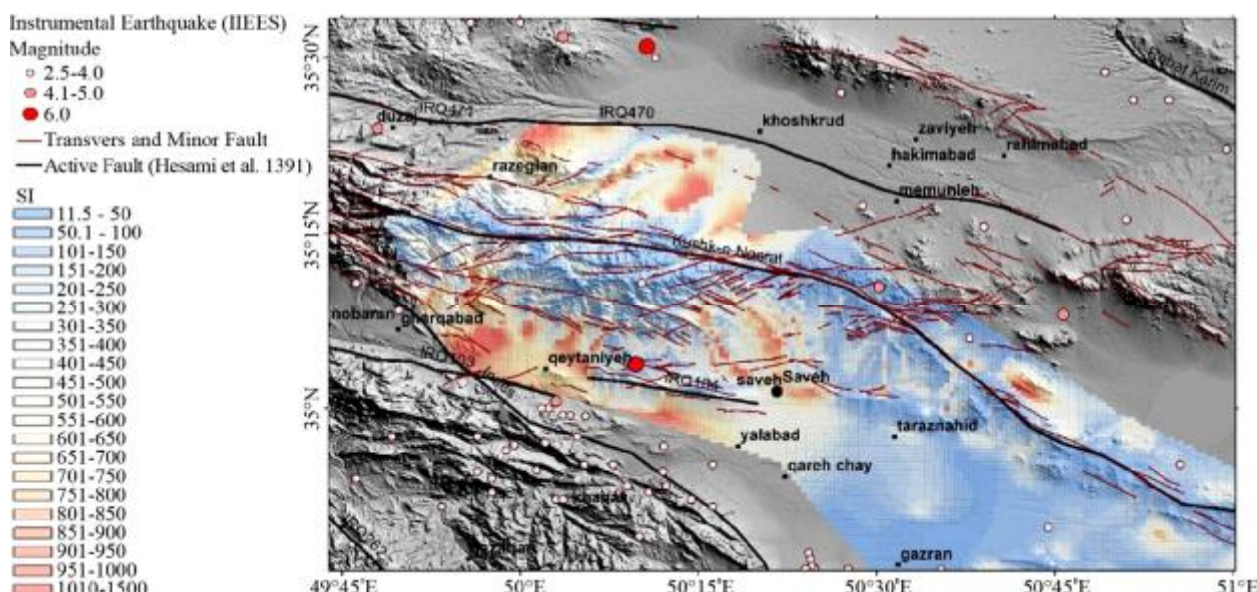
در چنین شرایطی می‌تواند یک ابزار نسبی با ارزش برای ارزیابی زمین‌ساخت فعال محاسبه شود [۳۱]. این شاخص افزون بر فرایش، در کنترل شدید جنس سنگ‌های بستر است. از این‌رو، بر پایه سازندۀای قطع شده توسط رودخانه‌ها و سعی بر انتخاب رودخانه‌ای که جنس سنگ بستر یکسان دارند، بیش از ۱۵۰۰ رودخانه انتخاب و شاخص شب رودخانه برای آنها محاسبه شد. در مرحله بعد تغییرات این شاخص در مناطق محدود‌تر مورد بررسی قرار گرفت.

در این مطالعه مقادیر شاخص S1 در راستای رودخانه‌هایی که گسل‌های اصلی حاشیه‌ی حوضه‌های رسوبی اصلی منطقه عبور می‌کنند، محاسبه شد (شکل‌های ۱۸ و ۱۹). چندین رودخانه‌ای اصلی منطقه که تکامل پیش‌رونده‌ی غیر تصادفی را در الگوی جریان خود نشان می‌دهند، انتخاب و بر روی آن متمرکز شد. این رودخانه‌ها عموماً، جنبش قائم بلند مدت را نمایش می‌دهند که با گسل‌های مدفون و یا به سطح رسیده‌ی شناسایی شده به روش لرزه‌نگاری مطابقت دارد. یکی از مهم‌ترین این رودخانه‌ها، رودخانه قره‌چای است. این رودخانه از سراب‌های هفت جنوب ساوه و شمال گبند نمک در مرکز حوضه‌ی البرز با راستای خاوری – باختり جریان می‌یابد و در ناحیه‌ای به نام پل دلاک در ورقه‌ی یکصد هزار آران به رودخانه‌ی قم رود می‌پیوندد و به دریاچه نمک در خاور شهر قم می‌ریزد.

محاسبه‌ی این شاخص نشان می‌دهد که شب‌های تندتر در مجاورت جبهه‌ی کوهستان و در طول حاشیه‌های حوضه‌های رسوبی و گسل‌های مرزی متمرکز است. این شب‌های تند ممکن است حاصل حضور لایه‌های سنگی مقاوم در مجاورت

(شکل‌های ۶ تا ۸).

- ب: شواهد به دست آمده از شاخص‌های مورفومتری نشان از نبود فعالیت زمین‌ساختی دارد (شکل‌های ۱۷ و ۲۰).
- ج: بازدیدهای میدانی نشان نمی‌دهند که این گسله نهشته‌های هولوسن را برپیده باشد (شکل‌های ۱۲ تا ۱۵).
- ۳. گسله کوشک نصرت در محل تغییر روند از N100E به شمال باختری که به سوی دریاچه نمک قم ادامه می‌یابد با خمس همراه است. در محل این خمس جنبش‌های شاقولی فعال که از شاخص هیپوسومتری به دست آمد بیانگر فعالیت زمین‌ساختی با سازوکار فشاری است (شکل ۱۷).
- ۴. نتایج حاصل از حل تانسور تنش که از سازوکار کانونی محاسبه شد بیانگر فعالیت و سازوکار روندهای گسلی زیر است (جدول ۱، شکل ۶).
- الف: روندهای (N055±05E) با سازوکار مورب لغز فشاری چپبر، بر روی صفحه‌های پرشیب به سوی شمال باختری است.
- ب: روندهای شمال باختری در طیف (N130±15E) با سازوکار مورب لغز فشاری راست بر تشکیل می‌دهند. صفحه‌ها با شیب به سوی جنوب باختری و پرشیب هستند.



شکل (۲۰): توزیع شاخص شیب طول رودخانه در راستای گسل کوشک نصرت. محاسبه شاخص بر اساس تصاویر ارتفاعی رقومی SRTM با دقت ۹۰ متر انجام گرفته است.

جنوب باختر گسل کوشک نصرت تشکیل شده‌اند. این راندگی‌ها در تقاطع با خطواره ساوه احتمال رخداد زمین‌لرزه‌های بزرگ را بالا می‌برد. بر اساس شاخص شیب طولی رودخانه، گسل ساوه و سایر پیش‌راندگی‌ها در فرادیواره آن در محل خمیدگی گسل کوشک نصرت (در محدوده شهر ساوه)، فعالیت زمین‌ساختی بالایی را نمایش می‌دهند.

۱۱- بحث و نتیجه‌گیری

- یافه‌های این پژوهش را می‌توان در نکات زیر خلاصه کرد:
۱. سازوکار گسله کوشک نصرت (بخش مرکزی با روند N100E) دارای سازوکار راستالغز راستبر است که با تکیه بر شواهدی چون جایه جایی آبراهه‌ها، پشته‌ها و شواهد سینماتیک مشخص شد (شکل‌های ۹ تا ۱۱).
 ۲. برخی شواهد نشان می‌دهد که این بخش از گسله فعال نیست و نمی‌تواند توان لرزه‌خیزی داشته باشد:
 - الف: تانسورهای تنش محاسبه شده با جهت تنش نزدیک به شمالی-جنوبی بیشتر می‌توانند سازوکار فشاری با مؤلفه افقی کوچک چپبر را ایجاد کنند و این خلاف سازوکار کانونی گسله در بخش مرکزی آن است

- Paleogene evolution of the South Caspian region. *Geological Society of America Bulletin*, **117**, 1513-1533.
3. Vincent, S.J., Morton, A.C., Carter, A., Gibbs, S., and Barabadez, T.G. (2007) Oligocene uplift of the Western Greater Caucasus: An effect of initial Arabia-Eurasia collision. *Terra Nova*, **19**, 160-166.
4. Allen, M.B. and Armstrong, H.A. (2008) Arabia-Eurasia collision and the forcing of mid-Cenozoic global cooling: Palaeogeography, Palaeoclimatology, Palaeoecology, **265**, 52-58, doi: 10.1016/j.palaeo.2008.04.021.
5. Horton, B.K., Hassanzadeh, J., Stoecklin, D.F., Axen, G.J., Gillis, R.J., Guest, B., Amini, A., Fakhari, M.D., Zamanzadeh, S.M., and Grove, M. (2008) Detrital zircon provenance of Neoproterozoic to Cenozoic deposits in Iran: Implications for chronostratigraphy and collisional tectonics. *Tectonophysics*, **451**, 97-122, doi: 10.1016/j.tecto.2007.11.063.
6. Allen, M., Jackson, J., and Walker, R. (2004) Late Cenozoic reorganization of the Arabia Eurasia collision and the comparison of short-term and long-term deformation rates. *Tectonics*, **23**, TC2008, doi:10.1029/2003TC001530.
7. Jackson, M.P.A., Cornelius, R.R., Craig, C.H., Gansser, A., Stocklin, J., and Talbot, C.J., (1990) Salt diapirs of the Great Kavir, central Iran. *Geological Society of America Memoir*, **177**, 136 p.
8. Walker, R. and Jackson, J, (2004) Active tectonics and late Cenozoic strain distribution in central and eastern Iran. *Tectonics*, **23**, doi: 10.1029/2003TC001529.
9. Talbot, C.J. and Aftabi, P. (2004) Geology and models of salt extrusion at Qum Kuh, central Iran. *Geological Society of London Journal*, **161**, 321-334, doi: 10.1144/0016-764903-102.
10. Letouzey, J. and Rudkiewicz, J.L. (2005) *Structural Geology in the Central Iranian Basin*. Institut Français du Pétrole Report F0214001, 79 p.
11. Huber, H. (1951) Geology of parts of the Western Kavir area and oil possibilities of Northern Region No. 2. *National Iranian Oil Company Geological Report No.*, **19**, 39p.
- پ: روندهای خاوری-باخته با سازوکار فشاری و مؤلفه افقی چپ بر هستند.
- ت: بیشینه تنش نزدیک به شمالی-جنوبی (N007E) است که با فاکتور ییضوی ($R=0.38$) یانگر رژیم زمین‌ساختی ترافشارشی در منطقه است.
- ث: تانسورهای تنش به دست آمده از عملیات میدانی جهت تنش میانگین (N005E) را نشان می‌دهند و تنها در یک ایستگاه مقدار ییضوی تنش همخوان با ییضوی تنش از سازوکار کانونی را نشان می‌دهد (شکل‌های ۷ و ۸ و جدول ۲).
5. بازکاری گسله کوشک نصرت در بخش مرکزی آن با سازوکار فشاری چپ بر می‌تواند واقعی باشد که احتیاج به مطالعات جدیدی دارد.
6. پایانه باخته گسله سیاه کوه با تداخل دو روند گسلی شمال باخته و نزدیک به خاوری-باخته به سوی باخته ادامه پیدا می‌کند و از نظر زمین‌ساختی در رده گسله‌های فعال قرار می‌گیرد که با شواهد مورفومتری در زیر خلاصه می‌شود:
- الف: با توجه به شاخص هیپسومتری (شکل ۱۸) و عکس‌های ماهواره‌ای به نظر می‌رسد که ادامه خاوری-باخته گسله کوشک نصرت به سوی خاور با حفظ همین روند به گسله سیاه کوه پیوندد.
- ب: شاخص شب رودخانه (شکل ۱۹) نیز در راستای پیوند میان گسله کوشک نصرت و گسله سیاه کوه فعالیت بالایی دال بر وجود گسله فشاری با روند خاوری-باخته می‌کند.
- ### مراجع
- Agard, P., Omrani, J., Jolivet, L., and Mouthereau, F. (2005) Convergence history across Zagros (Iran): constraints from collisional and earlier deformation. *International Journal of Earth Sciences*, **94**, 401-419.
 - Vincent, I., Allen, M.B., Ismail-Zadeh, A.D., Flecker, R., Foland, K.A., and Simmons, D. (2005) Insights from the Talysh of Azerbaijan into the

- field and crustal structure of Iran. *Neues Jahrbuch Geol. Paleont. Abh.*, **168**, 215-229.
23. Hessami, K., Mobayen, P., and Tabass, H. (2013) *Major Active Faults of Iran, Scale 1:2500000*. International Institute of Earthquakes Engineering and Seismology.
24. Bott, M.H.P. (1959) The mechanics of oblique slip faulting. *Geol. Mag.*, **96**(2), 109-117.
25. Carey, E. (1979) Recherche des directions principales de contraintes associées au jeu d'une population de failles. *Rev. Geol. Dyn. Geogr. Phys.*, **21**, 57-66.
26. Akasheh, B., Javaheri, J.H., Eshghi, I. and Islami, A.A. (1980) The earthquake December 28, 1980. *Earth and Space Physics*, **9**, 23-36.
27. Jackson, J.A. and McKenzie, D. (1984) Active tectonics of the Alpine-Himalayan Belt between western Turkey and Pakistan. *Geophys. J. R. Astr. Soc.*, **77**, 185-264.
28. Priestley, K., Baker, C., and Jackson, J. (1994) Implications of earthquake focal mechanism data for the active tectonics of the south Caspian Basin and surrounding regions. *Geophysical Journal International*, **118**(1), 111-141.
29. Abbasi, M.R. (2014) *Identification of Active Faults by Investigating Drainage Networks in Avaj-Bojin Zahra Region*. Report No. 16-94, 5141, International Institute of Seismology and Earthquake Engineering.
30. Bull, W.B. (2007) *Tectonic Geomorphology of Mountains: a New Approach to Paleoseismology*. Blackwell, Malden.
31. Keller, E.A. and Pinter, N. (1996) *Active Tectonics: Earthquakes, Uplift, and Landscape*. Prentice Hall, New Jersey.
32. Seeber, L. and Gornitz, V. (1983) River profiles along the Himalayan arc as indicators of active tectonics, *Tectonophysics*, **92**, 335-367, doi: 10.1016/0040-1951(83)90201-9.
33. Strahler, A.N. (1952) Hypsometric (area–altitude) analysis of erosional topography. *Geological Society of America Bulletin*, **63**, 1117-1142.
34. Pike, R.J. and Wilson, S.E. (1971) Elevation–relief ratio, hypsometric integral and geomorphic area–
12. Sonder, P.A. (1951) *Geological Report on the Region West of Qum*. Iran Oil Company Geological Report No. 49a, 61 p.
13. Sonder, P.A. (1954) *The Tertiary of the Qum-Shurab Area*. Iran Oil Company Geological Report No. 123, 74 p.
14. Sonder, P.A. (1956) *Detailed Investigations on the Marine Formation of Qum*. Iran Oil Company Geological Report No. 154, 61 p.
15. Gansser, A. (1955a) New aspects of the geology of Central Iran. *Proceedings, Fourth World Petroleum Congress*, Section 1/A/5, Carlo Colombo, Rome, 286-305.
16. Gansser, A. (1957) Die geologische erforschung der Qum gegen, Iran. *Bulletin der Verengung Schweizerisches Petroleum-Geologen und-Ingenieur*, **23**, 1-16.
17. Furrer, M.A. and Sonder, P.A. (1955) The Oligo-Miocene marine formation in the Qum region (Central Iran). *Proceedings, Fourth World Petroleum Congress*, Section 1/A/5, Carlo Colombo, Rome, 270-277.
18. Nogole Sadate, M.A.A. (1978) *Les zone de Decrochement et Les Virgations Structurales en Iran*. Consequences des Resultants de l'analyse Structurale de la Reigon de Qom. These Univ. Scientifique et Medicale de Grenoble, 201 p.
19. Ballato, P., Nowaczyk, N.R., Landgraf, A., Strecker, M.R., Friedrich, A., and Tabatabaei, S.H. (2008) Tectonic control on sedimentary facies pattern and sediment accumulation rates in the Miocene foreland basin of the southern Alborz mountains, northern Iran. *Tectonics*, **27**, doi: 10.1029/2008TC002278.
20. Hessami, K., Jamali, F., and Tabassi, H. (2003) *Major Active Faults of Iran, Scale 1:2500000*. International Institute of Earthquakes Engineering and Seismology.
21. Berberian, M. and King, G.C.P. (1981) Towards a palaeogeography and tectonic evolution of Iran. *Canadian Journal of Earth Sciences*, **18**, 210-265, doi: 10.1139/e81-163.
22. Dehghani, G.A. and Makris, J. (1984) The gravity

- altitude analysis. *Geological Society of America Bulletin*, **82**, 1079-1084.
35. Mayer, L. (1990) *Introduction to Quantitative Geomorphology*. Prentice Hall, Englewood, Cliffs, NJ.
36. Keller, E.A. and Pinter, N. (2002) *Active Tectonics: Earthquakes, Uplift, and Landscape*. Second Ed., Prentice Hall, New Jersey.
37. Hamdouni, R.E., Iriggaray, C., Fernandez, T., Chacon, J., and Keller, E.A. (2008) Assessment of relative active tectonics, southwest border of the Sierra Nevada (Southern Spain). *Geomorphology*, **96**.
38. Hack, J.T. (1973) Stream-profiles analysis and stream-gradient index. *Journal of Research of the U.S. Geological Survey*, **1**, 421-429.
39. Troiani, F. and Della-Seta, M. (2008) The use of the stream length-gradient index in morphotectonic analysis of small catchments: A case study from Central Italy. *Geomorphology*, **102**, 159-168.